

# Deux familles de cercles

Marc Lorenzi

19 novembre 2024

## 1 Introduction

### 1.1 La sphère de Riemann

Dans tout l'article, nous identifions le plan  $\mathbb{R}^2$  et l'ensemble  $\mathbb{C}$  des nombres complexes. Nous ajoutons à  $\mathbb{C}$  un *point à l'infini* noté  $\infty$  et nous notons

$$\overline{\mathbb{C}} = \mathbb{C} \cup \{\infty\}$$

L'ensemble  $\overline{\mathbb{C}}$  est la *sphère de Riemann*. Pourquoi une *sphère*? Nous verrons dans la dernière partie de l'article qu'il existe effectivement une bijection entre  $\overline{\mathbb{C}}$  et la sphère unité de  $\mathbb{R}^3$ , mais chaque chose en son temps.

### 1.2 Une homographie

Soit  $a \in \mathbb{C}^*$ . Considérons l'application  $f_a : \overline{\mathbb{C}} \rightarrow \overline{\mathbb{C}}$  définie par

$$f_a(z) = \frac{z - a}{z + a}$$

en convenant que  $f_a(-a) = \infty$  et  $f_a(\infty) = 1$ . L'application  $f_a$  est une *homographie* (ou *transformation de Möbius*). Elle possède une racine,  $a$ , et un pôle,  $-a$ . La figure ci-dessous représente la fonction  $f_1$  dans le carré  $[-5, 5] \times [-5, 5]$ .

Donnons quelques explications. Sur les cercles (?) sombres, le module de  $f_1$  est constant. Les couleurs décrivent l'argument de  $f_1$ . En rouge,  $\arg f_1 = 0$ . En bleu clair,  $\arg f_1 = \pi$ . Lorsqu'on tourne autour de la racine  $a$  ou du pôle  $-a$ , l'argument de  $f_1$  parcourt un cycle complet de couleurs. On vérifie facilement que lorsque  $z$  tend vers l'infini,  $\arg f_1(z)$  tend vers 0, ce qui explique la tonalité rouge de la figure.

**Remarque.** Notons le point d'interrogation au sujet des cercles. Sur la figure, les courbes noires ressemblent à des cercles, mais en sont-elles vraiment? Nous verrons bientôt que c'est le cas. Les points d'une couleur donnée sont ceux où l'argument de  $f_1$  est constant. En observant par exemple la couleur verte ou la couleur bleue, on distingue également des cercles (?) qui semblent passer par les points  $-1$  et  $1$ . Nous en reparlerons aussi.

**Proposition 1.**  $f_a$  est une bijection.

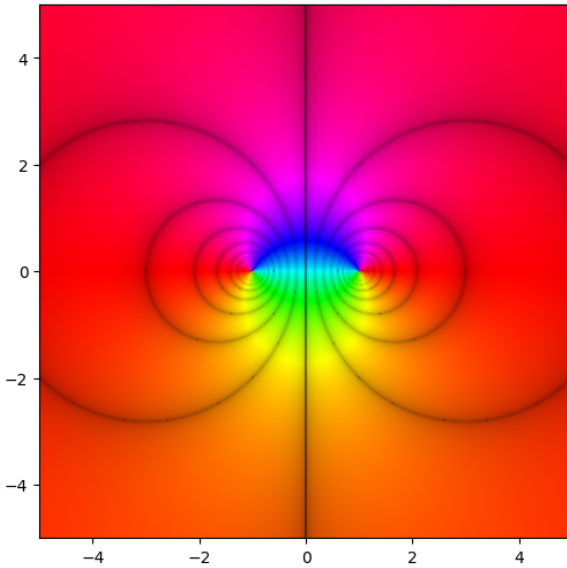


FIGURE 1 – La fonction  $f_1$

**Démonstration.** Soit  $g_a : \overline{\mathbb{C}} \longrightarrow \overline{\mathbb{C}}$  définie pour tout  $z \in \overline{\mathbb{C}}$  par

$$g_a(z) = a \frac{1+z}{1-z}$$

avec  $g_a(1) = \infty$  et  $g_a(\infty) = -a$ . On vérifie facilement que  $f_a \circ g_a = g_a \circ f_a = id_{\overline{\mathbb{C}}}$ . Ainsi,  $f_a$  est bijective et  $f_a^{-1} = g_a$ .  $\square$

**Remarque.** Pour tout  $z \in \overline{\mathbb{C}}$ ,

$$f_a(az) = \frac{az - a}{az + a} = \frac{z - 1}{z + 1} = f_1(z)$$

Ainsi, en appelant  $s$  la similitude de centre  $O$  et de rapport  $a$ , on a

$$f_a \circ s = f_1$$

L'étude de  $f_a$  peut ainsi être ramenée à celle de  $f_1$ .

## 2 Les cercles d'Apollonius

### 2.1 Lignes de niveau de $|f_a|$

Pour tout  $\theta \in [0, \pi]$ , posons  $k_\theta = \tan(\theta/2)$ , en convenant que  $k_\pi = \infty$ . Notons

$$C_\theta(a) = \{z \in \mathbb{C} : |f_a(z)| = k_\theta\}$$

Remarquons les deux cas particuliers  $C_0(a) = \{a\}$  et  $C_\pi(a) = \{-a\}$ .

Soit  $z \in \mathbb{C}$ . On a  $z \in C_\theta(a)$  si et seulement si

$$\left| f_1 \left( \frac{z}{a} \right) \right| = k_\theta$$

c'est à dire  $z/a \in C_\theta(1)$ . Ainsi,  $C_\theta(a)$  est l'image de  $C_\theta(1)$  par la similitude de centre  $O$  et de rapport  $a$ . Dans la suite, nous prendrons  $a = 1$  et nous noterons  $C_\theta = C_\theta(1)$ .

## 2.2 Équation cartésienne

Soit  $\theta \in [0, \pi[$ . Soit  $z \in \mathbb{C}$ . On a  $z \in C_\theta$  si et seulement si

$$|z - 1|^2 = k_\theta^2 |z + 1|^2$$

c'est à dire

$$(z - 1)(\bar{z} - 1) = k_\theta^2(z + 1)(\bar{z} + 1)$$

qui se développe en

$$|z|^2 - (z + \bar{z}) + 1 = k_\theta^2(|z|^2 + (z + \bar{z}) + 1)$$

Une équation cartésienne de  $C_\theta$  est ainsi

$$(C_\theta) \quad (1 - k_\theta^2)|z|^2 - (1 + k_\theta^2)(z + \bar{z}) + (1 - k_\theta^2) = 0$$

Remarquons que

$$\frac{1 - k_\theta^2}{1 + k_\theta^2} = \frac{1 - \tan^2(\frac{\theta}{2})}{1 + \tan^2(\frac{\theta}{2})} = \cos \theta$$

En divisant par  $1 + k_\theta^2$  et en posant  $z = x + iy$  où  $x, y \in \mathbb{R}$ , on obtient ainsi l'équation

$$(C_\theta) \quad \cos \theta(x^2 + y^2) - 2x + \cos \theta = 0$$

Remarquons que pour  $\theta = \pi$ ,

$$\cos \theta(x^2 + y^2) - 2x + \cos \theta = -(x^2 + y^2 + 2x + 1) = -(x + 1)^2 - y^2$$

Cette quantité est nulle si et seulement si  $x = -1$  et  $y = 0$ . Ainsi, l'équation cartésienne ci-dessus reste valable pour  $\theta = \pi$ .

## 2.3 Symétries

Soit  $\theta \in [0, \pi]$ . L'équation de  $C_\theta$  montre que  $C_\theta$  est invariant par l'application  $z \mapsto \bar{z}$ , c'est à dire la symétrie orthogonale par rapport à  $\mathbb{R}$ . Soit  $\theta' = \pi - \theta$ . On a  $\cos \theta' = -\cos \theta$ . Pour tout  $z = x + iy \in \mathbb{C}$ ,  $z \in C_{\theta'}$  si et seulement si

$$\cos \theta(x^2 + y^2) + 2x + \cos \theta = 0$$

c'est à dire  $-z \in C_\theta$  (ou aussi  $-\bar{z} \in C_\theta$ ). Ainsi,  $C_{\theta'}$  est l'image de  $C_\theta$  par les applications  $z \mapsto -z$  et  $z \mapsto -\bar{z}$ , c'est à dire la symétrie de centre  $O$  et la symétrie orthogonale par rapport à  $i\mathbb{R}$ .

On obtient donc les  $C_\theta$  pour  $\theta \in [\pi/2, \pi]$  à partir des  $C_\theta$  pour  $\theta \in [0, \pi/2]$ .

Dans la suite de notre discussion, nous supposerons que  $0 \leq \theta \leq \pi/2$ . Nous ferons tout de même quelques remarques sur ce qui se passe lorsque  $\pi/2 \leq \theta \leq \pi$ .

## 2.4 Droite et cercles

**Proposition 2.**  $C_{\pi/2} = i\mathbb{R}$ .

**Démonstration.** C'est immédiat. L'équation cartésienne de  $C_{\pi/2}$  est  $x = 0$ .  $\square$

Considérons les demi-plans

$$H^+ = \{z \in \mathbb{C}, \operatorname{Re}(z) > 0\}$$

$$H^- = \{z \in \mathbb{C}, \operatorname{Re}(z) < 0\}$$

On a la partition

$$\mathbb{C} = H^- \cup i\mathbb{R} \cup H^+$$

**Proposition 3.** Pour tout  $z \in \mathbb{C}$ ,

$$z \in H^+ \iff |z - 1| < |z + 1|$$

$$z \in H^- \iff |z - 1| > |z + 1|$$

$$z \in i\mathbb{R} \iff |z - 1| = |z + 1|$$

**Démonstration.** Soit  $z \in \mathbb{C}$ . On a

$$\begin{aligned} |z - 1| < |z + 1| &\iff |z - 1|^2 < |z + 1|^2 \\ &\iff (z - 1)(\bar{z} - 1) < (z + 1)(\bar{z} + 1) \\ &\iff z\bar{z} - z - \bar{z} + 1 < z\bar{z} + z + \bar{z} + 1 \\ &\iff z + \bar{z} > 0 \\ &\iff z \in H^+ \end{aligned}$$

On a des preuves identiques pour  $H^-$  et  $i\mathbb{R}$ .  $\square$

**Corollaire 4.** On a la partition

$$H^+ = \bigcup_{\theta \in [0, \pi/2[} C_\theta$$

**Démonstration.** Soit  $\theta \in [0, \pi/2[$ . On a

$$0 \leq k_\theta = \tan \frac{\theta}{2} < \tan \frac{\pi}{4} = 1$$

De là, pour tout  $z \in C_\theta$ ,

$$|z - 1| = k_\theta |z + 1| < |z + 1|$$

Ainsi,  $C_\theta \subset H^+$ . Les  $C_\theta$  sont évidemment non vides et disjoints deux à deux. Enfin, pour tout  $z \in H^+$ , on a  $|z - 1| < |z + 1|$  et donc  $|z - 1| = k|z + 1|$  où  $k = |z - 1|/|z + 1| < 1$ . En posant  $\theta = 2 \arctan k$ , on a  $\theta \in [0, \pi/4[$  et  $z \in C_\theta$ .  $\square$

**Remarque.** On a de même la partition

$$H^- = \bigcup_{\theta \in [\pi/2, \pi]} C_\theta$$

**Proposition 5.** Pour tout  $\theta \in [0, \pi] \setminus \{\pi/2\}$ ,  $C_\theta$  est le cercle de centre  $1/\cos \theta$  et de rayon  $\tan \theta$ .

**Démonstration.** Soit  $\theta \in [0, \pi] \setminus \{\pi/2\}$ . Soit  $z \in \mathbb{C}$ . En posant  $z = x + iy$  où  $x, y \in \mathbb{R}$ , on a  $z \in C_\theta$  si et seulement si

$$\cos \theta(x^2 + y^2) - 2x + \cos \theta = 0$$

Divisons par  $\cos \theta \neq 0$  pour écrire

$$x^2 + y^2 - \frac{2}{\cos \theta}x + 1 = 0$$

qui se factorise en

$$\left(x - \frac{1}{\cos \theta}\right)^2 + y^2 = \tan^2 \theta$$

□

**Définition 1.** Les cercles  $C_\theta$ ,  $\theta \in [0, \pi] \setminus \{\pi/2\}$ , sont les *cercles d'Apollonius*.

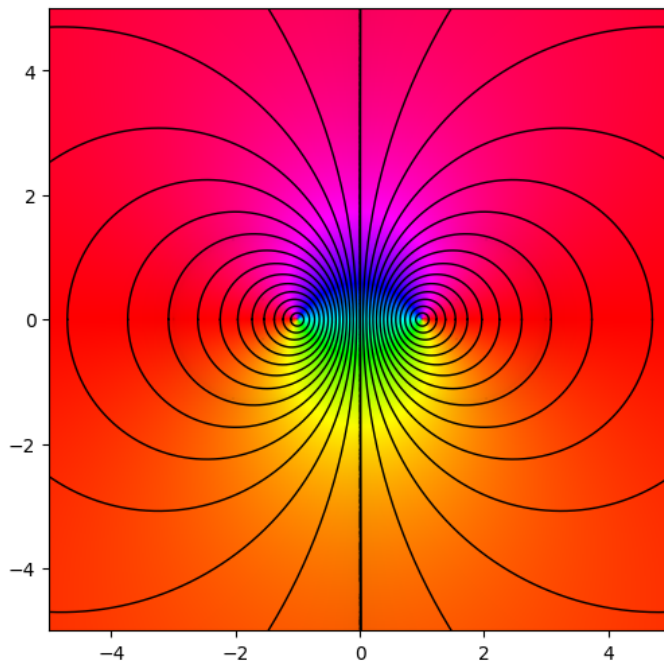


FIGURE 2 – Les cercles d'Apollonius

## 2.5 Interprétation géométrique

Soit  $\theta \in ]0, \pi/2[$ . En supposant donnée une droite faisant un angle  $\theta$  avec  $i\mathbb{R}$ , comment dessiner le cercle d'Apollonius  $C_\theta$  à la règle et au compas ? Soit  $z = e^{i\theta}$ . Soit  $a \in \mathbb{R}_+^*$  tel que le triangle  $(0, z, a)$  soit rectangle en  $z$ . Les côtés de l'angle droit ont pour longueurs  $|z - a|$  et  $|z| = 1$ , l'hypoténuse est de longueur  $a$ . On a

$$\cos \theta = \frac{|z|}{a} = \frac{1}{a}$$

et donc

$$a = \frac{1}{\cos \theta}$$

Également,

$$\tan \theta = \frac{|z - a|}{|z|} = |z - a|$$

Ainsi,

- $a$  est le centre de  $C_\theta$
- $z \in C_\theta$
- La tangente à  $C_\theta$  en  $z$  est la droite  $(Oz)$ .

Le réel  $\theta$  est donc l'angle entre l'axe  $Ox$  et une des tangentes à  $C_\theta$  passant par  $O$  (pour l'autre tangente, l'angle est évidemment  $-\theta$ ). Dans la figure ci-dessous, on a pris  $\theta = \pi/3$ .

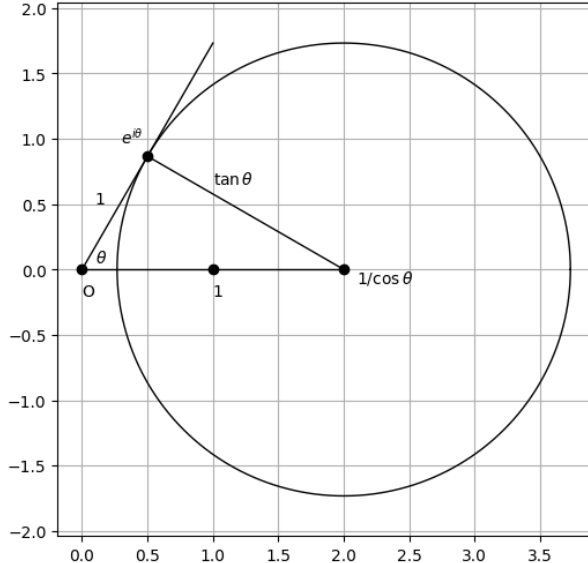


FIGURE 3 – Interprétation de  $\theta$

### 3 Une deuxième famille de cercles

#### 3.1 Lignes de niveau de $\arg f_a$

Soit  $a \in \mathbb{C}^*$ . Pour tout  $\theta \in [0, \pi[$ , notons

$$C'_\theta(a) = \{z \in \mathbb{C} \setminus \{-a, a\} : \arg f_a(z) \equiv \theta \pmod{\pi}\} \cup \{-a, a\}$$

Remarquons que  $z \in C'_\theta(a)$  si et seulement si  $z = \pm a$  ou alors  $\arg f_1(z/a) \equiv \theta \pmod{\pi}$ , c'est à dire si et seulement si  $z/a \in C'_\theta(1)$ . Tout comme pour les cercles d'Apollonius,  $C'_\theta(a)$  est l'image de  $C'_\theta(1)$  par la similitude de centre  $O$  et de rapport  $a$ . Dans la suite, nous prendrons  $a = 1$  et nous noterons  $C'_\theta = C'_\theta(1)$ .

Soit  $z \in \mathbb{C} \setminus \{-1, 1\}$ . On a  $z \in C'_\theta$  si et seulement si

$$\arg \frac{z-1}{z+1} \equiv \arg e^{i\theta} \pmod{\pi}$$

ou encore

$$\arg \left( \frac{z-1}{z+1} e^{-i\theta} \right) \equiv 0 \pmod{\pi}$$

c'est à dire

$$\frac{z-1}{z+1} e^{-i\theta} \in \mathbb{R}$$

Ceci équivaut à dire que ce nombre complexe est égal à son conjugué, ce qui donne

$$(z-1)(\bar{z}+1)e^{-i\theta} = (z+1)(\bar{z}-1)e^{i\theta}$$

Il vient après quelques simplifications l'égalité équivalente

$$z\bar{z} \sin \theta - \frac{z-\bar{z}}{2i} 2 \cos \theta - \sin \theta = 0$$

Remarquons que  $-1$  et  $1$  vérifient cette égalité. Une équation cartésienne de  $C'_\theta$  est ainsi

$$(C'_\theta) \quad \sin \theta (x^2 + y^2) - 2y \cos \theta - \sin \theta = 0$$

**Proposition 6.**  $C'_0 = \mathbb{R}$ .

**Démonstration.** Une équation cartésienne de  $C'_0$  est  $y = 0$ .  $\square$

**Proposition 7.** Pour tout  $\theta \in ]0, \pi[$ ,  $C'_\theta$  est le cercle de centre  $i \cotan \theta$  et de rayon  $1 / \sin \theta$ .

**Démonstration.** Soit  $\theta \in ]0, \pi[$ . Soit  $z \in \mathbb{C}$ . En posant  $z = x + iy$  où  $x, y \in \mathbb{R}$ , on a  $z \in C'_\theta$  si et seulement si

$$x^2 + y^2 - 2y \cotan \theta - 1 = 0$$

ou encore

$$x^2 + (y - \cotan \theta)^2 = \frac{1}{\sin^2 \theta}$$

d'où le résultat.  $\square$

**Proposition 8.** *Les ensembles  $C'_\theta$ ,  $\theta \in ]0, \pi[$ , sont les cercles passant par  $-1$  et  $1$ .*

**Démonstration.** Nous avons déjà montré que les  $C'_\theta$  sont des cercles passant par  $-1$  et  $1$ . Inversement, soit  $C$  un cercle passant par  $-1$  et  $1$ . Une équation cartésienne de  $C$  est

$$(C) \quad (x - a)^2 + (y - b)^2 = r^2$$

où  $(a, b) \in \mathbb{R}^2$  est le centre de  $C$  et  $r \in \mathbb{R}_+^*$  est son rayon. En écrivant que  $-1$  et  $1$  appartiennent à  $C$ , on obtient

$$\begin{aligned} (1 - a)^2 + b^2 &= r^2 \\ (1 + a)^2 + b^2 &= r^2 \end{aligned}$$

En soustrayant, il vient

$$0 = (1 + a)^2 - (1 - a)^2 = 4a$$

Ainsi,  $a = 0$  et donc  $1 + b^2 = r^2$ . Posons  $b = \cotan \theta$  où  $\theta \in ]0, \pi[$ . On a alors

$$r^2 = 1 + b^2 = 1 + \cotan^2 \theta = \frac{1}{\sin^2 \theta}$$

d'où  $r = 1/\sin \theta$ . Ainsi,  $C = C'_\theta$ .  $\square$

### 3.2 Intersections

Soient  $\theta \in ]0, \pi[$  et  $\varphi \in [0, \pi[$ . Rappelons que  $k_\theta = \tan(\theta/2)$ . Soit  $z \in \mathbb{C} \setminus \{-1, 1\}$ . On a  $z \in C_\theta \cap C'_\varphi$  si et seulement si

$$\left| \frac{z - 1}{z + 1} \right| = k_\theta \text{ et } \arg \frac{z - 1}{z + 1} \equiv \varphi \pmod{\pi}$$

c'est à dire

$$\frac{z - 1}{z + 1} = \varepsilon k_\theta e^{i\varphi}$$

où  $\varepsilon = \pm 1$ . On en déduit

$$z = \frac{1 + \varepsilon k_\theta e^{i\varphi}}{1 - \varepsilon k_\theta e^{i\varphi}}$$

Comme  $\theta \neq 0, \pi$ , les points  $-1$  et  $1$  n'appartiennent pas à  $C_\theta$ . Remarquons que si  $\theta = 0$ , l'expression ci-dessus donne  $z = 1$ . Également, si  $\theta = \pi$ , l'expression ci-dessus donne  $z = -1$  (en convenant que  $\infty/\infty = 1$ ), ce qui est la bonne réponse. On a donc pour tout  $\theta \in [0, \pi]$  et tout  $\varphi \in [0, \pi[$ ,

$$C_\theta \cap C'_\varphi = \left\{ \frac{1 - k_\theta e^{i\varphi}}{1 + k_\theta e^{i\varphi}}, \frac{1 + k_\theta e^{i\varphi}}{1 - k_\theta e^{i\varphi}} \right\}$$

### 3.3 Orthogonalité

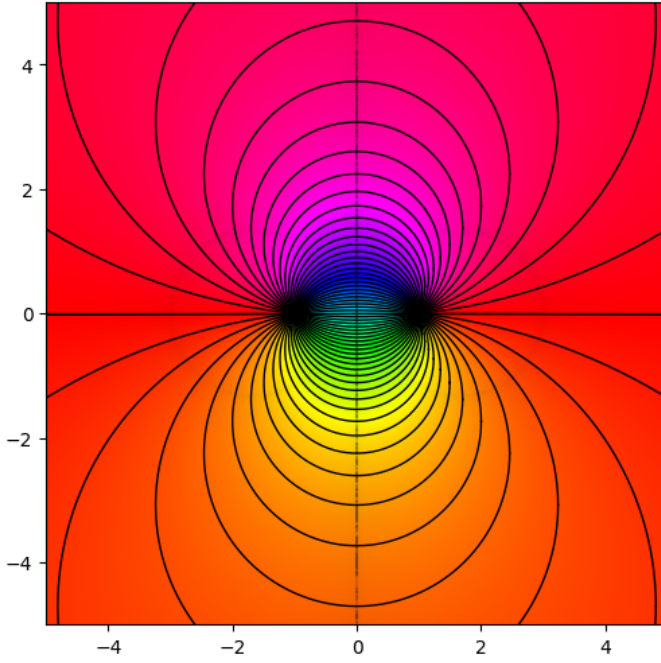


FIGURE 4 – Les cercles passant par  $-1$  et  $1$

**Proposition 9.** Pour tout  $\theta \in ]0, \pi[$  et tout  $\varphi \in [0, \pi[, C_\theta$  et  $C'_\varphi$  sont orthogonaux.

**Démonstration.** Supposons d'abord  $\theta \neq \pi/2$  et  $\varphi \neq 0$  de sorte que  $C_\theta$  et  $C'_\varphi$  sont deux cercles. Le centre de  $C_\theta$  est  $1/\cos\theta$  et le centre de  $C'_\varphi$  est  $i \cotan\varphi$ . La distance au carré entre les deux centres est donc

$$d^2 = \frac{1}{\cos^2\theta} + \cotan^2\varphi$$

Par ailleurs, le rayon de  $C_\theta$  est  $R = |\tan\theta|$  et le rayon de  $C'_\varphi$  est  $R' = 1/\sin\varphi$ . On a donc

$$\begin{aligned} R^2 + R'^2 &= \tan^2\theta + \frac{1}{\sin^2\varphi} \\ &= \tan^2\theta + 1 + \cotan^2\varphi \\ &= \frac{1}{\cos^2\theta} + \cotan^2\varphi \end{aligned}$$

Ainsi,  $R^2 + R'^2 = d^2$ , ce qui est la condition d'orthogonalité des deux cercles.

Il reste à examiner les cas particuliers. Si  $\theta = \pi/2$  et  $\varphi \neq 0$ , alors le cercle  $C'_\varphi$  est bien orthogonal à la droite  $C_{\pi/2} = i\mathbb{R}$ . Si  $\theta \neq \pi/2$  et  $\varphi = 0$  alors le cercle  $C_\theta$  est bien orthogonal à la droite  $C'_0 = \mathbb{R}$ . Enfin, les droites  $C_{\pi/2} = i\mathbb{R}$  et  $C'_0 = \mathbb{R}$  sont orthogonales.  $\square$

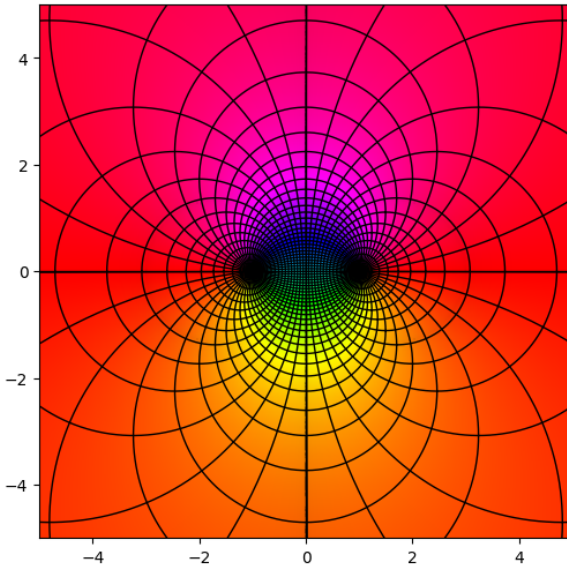


FIGURE 5 – Les deux familles de cercles

## 4 Méridiens et parallèles

Nous allons voir dans cette section que nos deux familles de cercles sont les *projections stéréographiques* des méridiens et des parallèles de la sphère unité de  $\mathbb{R}^3$ .

### 4.1 La projection stéréographique

Soit  $\mathcal{S} \subseteq \mathbb{R}^3$  la sphère de centre  $O$  et de rayon 1.

$$\mathcal{S} = \{(X, Y, Z) \in \mathbb{R}^3 : X^2 + Y^2 + Z^2 = 1\}$$

Notons  $E = (0, 0, 1)$ . Pour tout  $M = (X, Y, Z) \in \mathcal{S} \setminus \{E\}$ , déterminons l'intersection de la droite  $(EM)$  avec le plan  $XOY$ . Soit  $M' = (x, y, 0) \in XOY$ . On a  $M' \in (EM)$  si et seulement si il existe  $\lambda \in \mathbb{R}$  tel que

$$\overrightarrow{EM'} = \lambda \overrightarrow{EM}$$

En passant aux coordonnées, ceci équivaut à l'existence de  $\lambda \in \mathbb{R}$  tel que

$$\begin{cases} x &= \lambda X \\ y &= \lambda Y \\ -1 &= \lambda(Z - 1) \end{cases}$$

La troisième égalité donne  $\lambda = 1/(1 - Z)$ . On en déduit que  $M' \in XOZ$  si et seulement si

$$x = \frac{X}{1 - Z} \text{ et } y = \frac{Y}{1 - Z}$$

Sans surprise,  $(EM) \cap XOZ$  est un singleton.

**Notation.** Nous noterons  $F : \mathcal{S} \longrightarrow \overline{\mathbb{C}}$  la fonction qui à  $(X, Y, Z) \in \mathcal{S} \setminus \{E\}$  associe  $z = x + iy$ , avec de plus  $F(E) = \infty$ .

$F(E) = \infty$  et pour tout  $(X, Y, Z) \in \mathcal{S} \setminus \{E\}$ ,

$$F(X, Y, Z) = \frac{X + iY}{1 - Z}$$

**Définition 2.** La fonction  $F$  est la *projection stéréographique*.

**Proposition 10.**  $F$  est une bijection.

**Démonstration.** Soit  $z = x + iy \in \mathbb{C}$ . Soit  $M = (X, Y, Z) \in \mathcal{S} \setminus \{E\}$  tel que  $F(M) = z$ . Remarquons que

$$X^2 + Y^2 = 1 - Z^2 = (1 + Z)(1 - Z)$$

En posant  $\lambda = 1/(1 - Z)$ , on a alors

$$x^2 + y^2 = \lambda^2(X^2 + Y^2) = \frac{X^2 + Y^2}{(1 - Z)^2} = \frac{1 + Z}{1 - Z}$$

d'où

$$Z = \frac{x^2 + y^2 - 1}{x^2 + y^2 + 1}$$

On en déduit

$$1 - Z = \frac{2}{x^2 + y^2 + 1}$$

et donc

$$\begin{cases} X &= \frac{2x}{x^2 + y^2 + 1} \\ Y &= \frac{2y}{x^2 + y^2 + 1} \end{cases}$$

Le nombre complexe  $z$  a donc au plus un antécédent par  $F$ . Inversement, En prenant les valeurs de  $X, Y, Z$  que nous venons de trouver,

$$X + iY = \frac{2z}{|z|^2 + 1}$$

d'où

$$X^2 + Y^2 + Z^2 = \frac{4|z|^2}{(|z|^2 + 1)^2} + \frac{(|z|^2 - 1)^2}{(|z|^2 + 1)^2} = 1$$

donc  $M = (X, Y, Z) \in \mathcal{S}$ . De plus,  $Z \neq 1$  donc  $M \neq E$ . Enfin,

$$1 - Z = \frac{2}{|z|^2 + 1}$$

et donc

$$F(M) = \frac{X + iY}{1 - Z} = z$$

Pour terminer,  $\infty$  a un unique antécédent par  $F$ , à savoir  $E$ .  $\square$

**Notation.** Nous noterons  $G : \overline{\mathbb{C}} \rightarrow \mathcal{S}$  la réciproque de  $F$ .

$G(\infty) = E$  et pour tous  $x, y \in \mathbb{R}$ ,

$$G(x + iy) = \left( \frac{2x}{x^2 + y^2 + 1}, \frac{2y}{x^2 + y^2 + 1}, \frac{x^2 + y^2 - 1}{x^2 + y^2 + 1} \right)$$

**Définition 3.** La fonction  $G$  est la *projection stéréographique inverse*.

Pour résumer,  $F$  envoie bijectivement la sphère  $\mathcal{S}$  sur  $\overline{\mathbb{C}}$  et  $G$  envoie bijectivement  $\overline{\mathbb{C}}$  sur  $\mathcal{S}$ .

## 4.2 Projection des cercles de $\mathcal{S}$

Rappelons le résultat bien connu (?) suivant : les cercles inclus dans  $\mathcal{S}$  sont les intersections de  $\mathcal{S}$  avec les plans de l'espace. Plus précisément, étant donné un plan  $P$  de  $\mathbb{R}^3$ , l'intersection de  $\mathcal{S}$  et de  $P$  est

- Un cercle de rayon non nul si la distance de  $O$  à  $P$  est strictement inférieure à 1.
- Un singleton si la distance de  $O$  à  $P$  est égale à 1. Le plan  $P$  est alors tangent à  $\mathcal{S}$ .
- L'ensemble vide si la distance de  $O$  à  $P$  est strictement supérieure à 1.

Quelle est la projection stéréographique d'un cercle de  $\mathcal{S}$  ?

**Proposition 11.** Soit  $C$  un cercle de  $\mathcal{S}$ .

- Si  $C = \{E\}$  alors  $F(C) = \{\infty\}$ .
- Si  $C \neq \{E\}$  et  $E \in C$ , alors  $F(C) = D \cup \{\infty\}$  où  $D$  est une droite de  $\mathbb{C}$ .
- Si  $E \notin C$ , alors  $F(C)$  est un cercle de  $\mathbb{C}$ .

**Démonstration.** Soit  $C = \mathcal{S} \cap P$  où  $P$  est un plan de  $\mathbb{R}^3$  tel que la distance de  $O$  à  $P$  soit inférieure ou égale à 1. Donnons-nous une équation cartésienne de  $P$  :

$$(P) \quad aX + bY + cZ + d = 0$$

où  $a, b, c, d \in \mathbb{R}$  et  $(a, b, c) \neq (0, 0, 0)$ . Soit  $z = x + iy \in \mathbb{C}$ . On a  $z \in F(C)$  si et seulement si  $G(z) \in C$ , ou encore, puisque  $G(z) \in \mathcal{S}$ , si et seulement si  $G(z) \in P$ . En reprenant l'expression de  $G(z)$  que nous avons vue plus haut, cette condition s'écrit

$$2ax + 2by + c(x^2 + y^2 - 1) + d(x^2 + y^2 + 1) = 0$$

qui se réarrange en

$$(c + d)(x^2 + y^2) + 2ax + 2by + d - c = 0$$

Deux cas surviennent.

- Cas 1,  $c + d = 0$ . Cette condition équivaut à  $E \in C$ . Dans ce cas,  $z \in F(C)$  si et seulement si

$$2ax + 2by + d - c = 0$$

Si  $a = b = 0$ , alors  $P$  est un plan horizontal passant par  $E$ , c'est à dire le plan tangent à  $\mathcal{S}$  en  $E$ . On a alors  $C = \{E\}$  et  $F(C) = \{\infty\}$ . Sinon,  $F(C) = D \cup \{\infty\}$  où  $D$  est la droite de  $\mathbb{C}$  d'équation cartésienne

$$(D) \quad 2ax + 2by + d - c = 0$$

- Cas 2,  $c + d \neq 0$ , c'est à dire  $E \notin C$ . On a  $z \in F(C)$  si et seulement si

$$x^2 + y^2 + \frac{2a}{c+d}x + \frac{2b}{c+d}y + \frac{d-c}{c+d} = 0$$

qui est l'équation d'un cercle de  $\mathbb{C}$ . Le centre de ce cercle est

$$\left( -\frac{a}{c+d}, -\frac{b}{c+d} \right)$$

Son rayon  $R$  vérifie

$$\begin{aligned} (c+d)^2 R^2 &= a^2 + b^2 + (c-d)(c+d) \\ &= a^2 + b^2 + c^2 - d^2 \end{aligned}$$

Remarquons que la distance de  $O$  à  $P$  est

$$d(O, P) = \frac{|d|}{\sqrt{a^2 + b^2 + c^2}} \leq 1$$

On a donc

$$d^2 \leq a^2 + b^2 + c^2$$

Ainsi,  $F(C)$  est un « vrai » cercle de  $\mathbb{C}$ , de rayon

$$R = \frac{\sqrt{a^2 + b^2 + c^2 - d^2}}{(c+d)^2}$$

□

### 4.3 Projections inverses

Posons nous la question de la réciproque. Quelle est la projection stéréographique inverse d'une droite de  $\mathbb{C}$  (à laquelle on rajoute  $\infty$ ) ? D'un cercle de  $\mathbb{C}$  ?

**Proposition 12.** Soit  $D$  une droite de  $\mathbb{C}$ . Soit  $\overline{D} = D \cup \{\infty\}$ . L'ensemble  $G(\overline{D})$  est un cercle de  $\mathcal{S}$  contenant  $E$ .

**Démonstration.** Supposons que  $D$  a pour équation cartésienne

$$(D) \quad ax + by + c = 0$$

où  $a, b, c \in \mathbb{R}$  et  $(a, b) \neq (0, 0)$ . Soit  $M = (X, Y, Z) \in \mathcal{S}$ . On a  $M \in G(\overline{D})$  si et seulement si  $F(M) \in \overline{D}$ , c'est à dire  $M = E$ , ou alors  $M \neq E$  et

$$a \frac{X}{1-Z} + b \frac{Y}{1-Z} + c = 0$$

c'est à dire

$$aX + bY - cZ + c = 0$$

Remarquons que  $E = (0, 0, 1)$  vérifie cette égalité. L'équation ci-dessus est l'équation cartésienne d'un plan de  $\mathbb{R}^3$  contenant  $E$ . Ainsi,  $G(\overline{D})$  est un cercle de  $\mathcal{S}$  contenant  $E$ .  $\square$

**Proposition 13.** *Soit  $C$  un cercle de  $\mathbb{C}$ . L'ensemble  $G(C)$  est un cercle de  $\mathcal{S}$  ne contenant pas  $E$ .*

**Démonstration.** Soient  $(a, b) \in \mathbb{R}^2$  le centre de  $C$  et  $R \geq 0$  son rayon. Une équation cartésienne de  $C$  est

$$(x - a)^2 + (y - b)^2 = R^2$$

ou encore

$$x^2 + y^2 - 2ax - 2by = R^2 - a^2 - b^2$$

Soit  $M = (X, Y, Z) \in \mathcal{S}^3$ . On a  $M \in G(C)$  si et seulement si  $F(M) \in C$ , c'est à dire

$$X^2 + Y^2 - 2aX(1-Z) - 2bY(1-Z) = (R^2 - a^2 - b^2)(1-Z)^2$$

Remarquons que  $X^2 + Y^2 = 1 - Z^2 = (1 - Z)(1 + Z)$  et que  $Z \neq 1$ . Cette égalité se réarrange donc en

$$1 + Z - 2aX - 2bY = (R^2 - a^2 - b^2)(1 - Z)$$

ou encore, en posant  $c = R^2 - a^2 - b^2$ ,

$$2aX + 2bY - (c + 1)Z + (c - 1) = 0$$

Si  $a = b = 0$  alors  $c + 1 = R^2 + 1 > 0$ . L'équation ci-dessus est donc l'équation d'un plan  $P$  de  $\mathbb{R}^3$ . On a donc  $G(C) = \mathcal{S} \cap P$ . De plus, comme  $C \neq \emptyset$ ,  $G(C)$  n'est pas vide, donc  $G(C)$  est un cercle de  $\mathcal{S}$ . Comme  $E = (0, 0, 1) \notin P$ ,  $E \notin G(C)$ .  $\square$

**Remarque.** En reprenant les notations de la preuve, la distance de  $O$  à  $P$  est

$$d(O, P) = \frac{|c - 1|}{\sqrt{4a^2 + 4b^2 + (c + 1)^2}} \leq \left| \frac{c - 1}{c + 1} \right| < 1$$

On retrouve le fait (évident) que  $\mathcal{S} \cap P$  est un cercle. Cet ensemble est un singleton si et seulement si  $d(O, P) = 1$ , c'est à dire

$$(c - 1)^2 = 4a^2 + 4b^2 + (c + 1)^2$$

qui se simplifie en

$$a^2 + b^2 + c = 0$$

Mais  $c = R^2 - a^2 - b^2$ , donc cette égalité équivaut à  $R = 0$ . Ainsi,  $G(C)$  est un cercle de  $\mathcal{S}$  de rayon non nul, sauf si  $C$  lui-même est un singleton.

#### 4.4 Méridiens et parallèles

De façon non classique, plaçons le *pôle sud* de la sphère  $\mathcal{S}$  en  $S = (-1, 0, 0)$  et le *pôle nord* en  $N = (1, 0, 0)$ . L'*équateur* de  $\mathcal{S}$  est l'intersection de  $\mathcal{S}$  et du plan  $YOZ$ . Le point  $E$  est ainsi un point de l'équateur, d'où son nom.

**Définition 4.** Les *parallèles* de  $\mathcal{S}$  sont les intersections de  $\mathcal{S}$  avec les plans parallèles à  $YOZ$ .

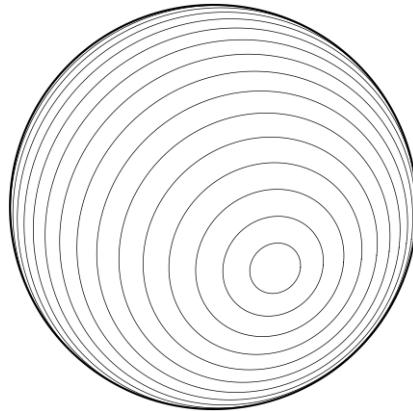


FIGURE 6 – Les parallèles

Appelons *axe* de la sphère  $\mathcal{S}$  la droite  $(SN)$ , c'est à dire l'axe  $OX$  (d'équations  $Y = Z = 0$ ).

**Définition 5.** Les *méridiens* de  $\mathcal{S}$  sont les intersections de  $\mathcal{S}$  avec les plans contenant l'axe de  $\mathcal{S}$ .

En géographie, les méridiens sont des demi-cercles. Ce que nous appelons ici méridian est en fait la réunion de deux méridiens diamétralement opposés du géographe.

Voici réunis sur une même figure les parallèles et les méridiens.

#### 4.5 Projection stéréographique des parallèles

Les parallèles de  $\mathcal{S}$  sont les intersections de  $\mathcal{S}$  avec les plans d'équation  $X = c$  où  $c \in \mathbb{R}$ . Seuls les plans dont la distance à  $O$  est inférieure ou égale à 1, c'est à dire tels que  $c \in [-1, 1]$ , fournissent une intersection non vide. Pour tout  $\theta \in [0, \pi]$ , notons  $P_\theta$  le parallèle de  $\mathcal{S}$  qui est l'intersection de  $\mathcal{S}$  avec le plan d'équation  $X = \cos \theta$ . L'ensemble  $P_\theta$  est l'ensemble des points de  $\mathcal{S}$  qui se trouvent à la *colatitude*  $\theta$ .

**Proposition 14.** Pour tout  $\theta \in [0, \pi]$ ,  $F(P_\theta) = C_\theta$ .

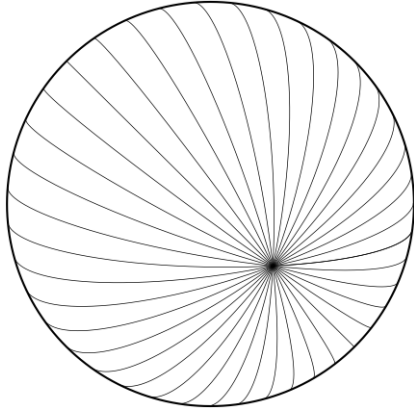


FIGURE 7 – Les méridiens

**Démonstration.** Soit  $\theta \in [0, \pi]$ . L'image de  $P_\theta$  par la fonction  $F$  est la partie de  $\mathbb{C}$  d'équation

$$\frac{2x}{x^2 + y^2 + 1} = \cos \theta$$

ou encore

$$\cos \theta(x^2 + y^2) - 2x + \cos \theta = 0$$

Nous reconnaissons l'équation cartésienne de  $C_\theta$ .  $\square$

**Remarque.** Conformément à notre théorie, la projection stéréographique du parallèle  $P_\theta$  est un cercle de  $\mathbb{C}$ , sauf si  $E \in P_\theta$ , ce qui arrive lorsque  $\theta = 0$  (l'équateur est l'ensemble des points de la sphère de latitude 0). Plus précisément que ce que nous dit la proposition ci-dessus,

$$F(P_0) = C_0 \cup \{\infty\} = i\mathbb{R} \cup \{\infty\}$$

#### 4.6 Projection stéréographique des méridiens

Les méridiens de  $\mathcal{S}$  sont caractérisés par un angle. Pour tout  $\theta \in [0, \pi[$ , soit  $u$  l'image du vecteur  $\overrightarrow{OE}$  par la rotation d'axe orienté par  $\overrightarrow{ON}$  et d'angle  $\theta$ . On a

$$u = (0, \sin \theta, \cos \theta)$$

Appelons  $M_\theta$  le méridien de la sphère  $\mathcal{S}$  qui est l'intersection de  $\mathcal{S}$  et du plan vectoriel engendré par  $u$  et  $v = \overrightarrow{ON}$ . Un vecteur normal à ce plan est le produit vectoriel

$$v \wedge u = (0, \cos \theta, -\sin \theta)$$

Ce plan a donc pour équation cartésienne

$$Y \cos \theta - Z \sin \theta = 0$$

Les points de  $M_\theta$  sont les points de la sphère de *longitude*  $\theta$ . Remarquons qu'avec nos conventions non géographiques (un méridien de géographe est un demi-cercle et pas un cercle), la longitude et la latitude ne caractérisent pas un point de la sphère mais *deux* points.

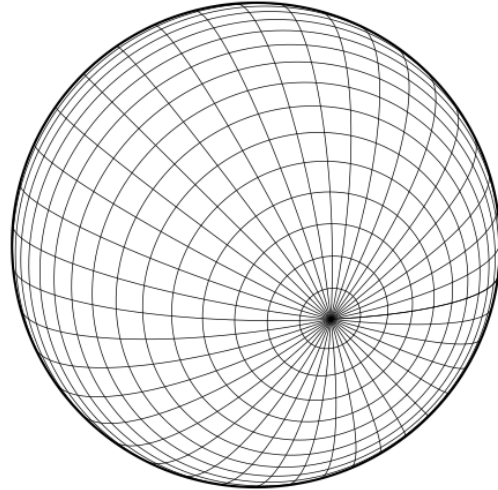


FIGURE 8 – Parallèles et méridiens

**Exemples.** Pour  $\theta = 0$ , l'équation devient  $Y = 0$ . C'est l'équation du grand cercle de  $\mathcal{S}$  passant par  $N$ ,  $S$  et  $E$ . Pour  $\theta = \pi/2$ , l'équation devient  $Z = 0$  et nous avons cette fois-ci l'équation du grand cercle intersection de  $\mathcal{S}$  avec le plan  $XOY$ . Pour  $\theta = \pi/4$ , l'équation devient  $Y - Z = 0$ .

**Proposition 15.** *Pour tout  $\theta \in [0, \pi[$ ,  $F(M_\theta) = C'_\theta$ .*

**Démonstration.** Soit  $z = x + iy \in \mathbb{C}$  où  $x, y \in \mathbb{R}$ . On a  $z \in F(M_\theta)$  si et seulement si  $G(z) \in M_\theta$ , c'est à dire

$$\frac{2y}{x^2 + y^2 + 1} \cos \theta - \frac{x^2 + y^2 - 1}{x^2 + y^2 + 1} \sin \theta = 0$$

ou encore, en multipliant par  $x^2 + y^2 + 1$ ,

$$(x^2 + y^2) \sin \theta - 2y \cos \theta - \sin \theta = 0$$

On reconnaît l'équation de  $C'_\theta$ .  $\square$

**Remarque.** Comme nous l'avons dit pour les parallèles, dans le cas particulier  $\theta = 0$ , le point  $E$  appartient à  $M_\theta$ . On a donc plus rigoureusement

$$F(M_0) = C'_0 \cup \{\infty\} = \mathbb{R} \cup \{\infty\}$$

**Remarque.** Nous obtenons ici une nouvelle interprétation du paramètre  $\theta$  du cercle (ou de la droite)  $C'_\theta$ . C'est l'angle entre le plan contenant l'équateur de  $\mathcal{S}$  et le plan contenant le méridien  $M_\theta$ .

Le dessin ci-dessous représente la sphère  $\mathcal{S}$ , ses méridiens, ses parallèles, ainsi que leurs projections stéréographiques qui sont nos deux familles de cercles. Pour des raisons de lisibilité, on a surélevé la sphère.

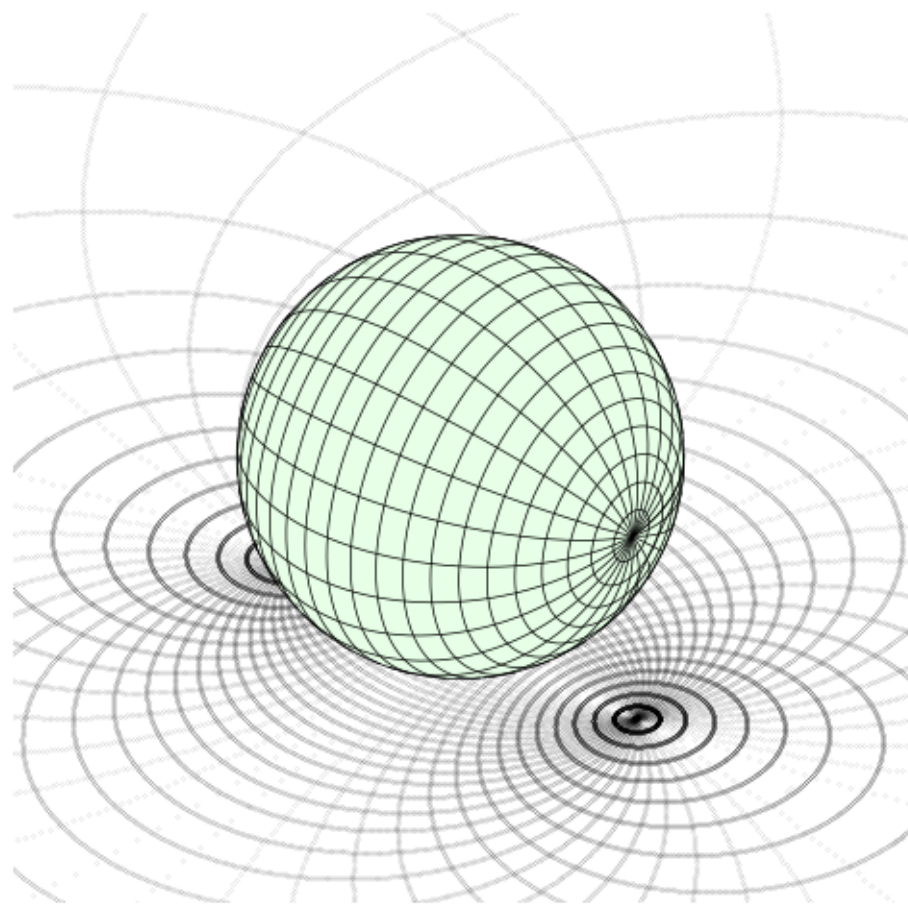


FIGURE 9 – Les méridiens, les parallèles et leurs projections